

声学译丛

建筑声学

(消声室专辑)

4

上海市物理学会声学工作委员会主编
上海市科学技术编译馆出版

声学译丛

(总第 17 号)

建筑声学

(4)

(消声室专辑)

上海市物理学会声学工作委员会主编

*

上海市科学技术编译馆出版

(上海南昌路 59 号)

新华书店上海发行所发行 各地新华书店经售

商务印书馆上海厂印刷

*

开本 787×1092 1/16 印张 8 12/16 字数 270,000

1965 年 3 月第 1 版 1965 年 3 月第 1 次印刷

印数 1—2,400

编 号 : 15 · 255

定 价 : 1.10 元

前　　言

早期的消声室是以悬挂的多层布幕作为吸声处理结构的，布幕和墙面平行，并和墙面保持一定的间距。也有采用将这种多层吸声结构垂直于墙面的悬挂方式（见本辑第29篇）。这些结构在吸声效果及其所占的空间方面是不很理想的。

1938～1939年，Meyer等人在柏林设计并建造了一个用多孔性材料做成的锥体作为墙面吸声结构的大型消声室（本辑第28篇是介绍该消声室的摘要），获得了很好的效果。在这以后，对于消声室所采用的结构的研究，都集中在用多孔性材料（玻璃棉、矿渣棉和泡沫材料等）做成的尖劈形、棱锥形或圆锥形等吸声体上。

1947年，美国哈佛大学建造了一个壁面覆盖玻璃纤维尖劈的大型消声室（见本辑第1篇），尖劈总长1.54米，低限截止频率是70赫。

1952年，Kurtze对尖劈吸声体的结构作了改进，他在尖劈后面加一块穿缝板，狭缝和尖劈后面留出的空腔组成共振吸声结构，以提高低频段的吸收（见本辑第18篇）。这种结构在总长度为95厘米时，它的低限截止频率就可以达到70赫。对于流阻大的尖劈材料，可以不必另外再加穿缝板，而只需在相邻的尖劈之间留出狭缝就可以了。1953年，Meyer等人在哥廷根大学设计并建造的消声室（见本辑第5篇）就是采用这种尖劈-共振器吸声结构，也是目前使用比较普遍的一种消声室吸声结构。

在荒井昌昭的工作中（见本辑第17篇），认为吸声尖劈的尖端部分对吸声的作用不大，因此在他们所设计和建造的消声室中，采用了“平头”的劈状吸声体。而在Watters的文章中（见本辑第15篇），对于特殊用途的消声室，则采用了“阶梯式”的吸声体。

在吸声尖劈内适当地掺入吸收电磁波的材料，就可以使消声室同时成为用于一定频段的电磁波自由场的房间（见本辑第5和第11篇）。这种电磁波自由场不仅可以用于电磁波本身的测量目的，同时也可用来进行声波的模拟试验。

宽频带和高效率的吸声体是消声室的最重要的构成部分，但要建造一个高质量的消声室，还必须同时注意到其它方面的重要因素，例如消声室的隔声和隔振问题（在本辑第14篇中还讨论了墙壁本身的振动问题）以及通风管道和门的安装问题等，此外还有测量用的支架、电源线和信号线等器材的安排等问题。除了上述许多建筑构造等方面的问题外，还必须考虑到消声室的造价和体积问题，这些内容在本专辑的各篇文章里都分别作了介绍和讨论。

本辑前八篇介绍了六个大型消声室，其后六篇介绍了五个小型消声室。这11个消声室的简要情况列于后面的附表中，以便比较。第15篇到第24篇是关于尖劈的研究、消声室内声场的研究和测试，以及对渐变吸声体的理论研究。最后五篇是关于一些尖劈研究和早期的消声室的摘要介绍。

本辑由倪乃琛、沙家正和孙广荣同志负责审校。由于编译者水平有限，经验不足，不当之处，敬希读者指正。

上海市物理学会声学工作委员会

1965年2月

目 录

- | | | | |
|-------------------------------|--------|----------------------------|---------|
| 1. 消声室的設計和建造..... | [美国] | L. L. Beranek 等 | (1) |
| 2. 消声室..... | [日本] | 三宅 千葉 衡益 | (9) |
| 3. 消声室..... | [苏联] | A. H. Ривин | (19) |
| 4. 消声測量室的吸声尖劈..... | [苏联] | A. H. Ривин 等..... | (25) |
| 5. 用于短电磁波和声波的大型消声室..... | [西德] | E. Meyer 等..... | (29) |
| 6. 大型消声室..... | [民主德国] | W. Kraak 等 | (39) |
| 7. 莫斯科大学物理系消声室吸声結構的研究..... | [苏联] | K. A. Великанова 等(44) | |
| 8. 高效能吸声結構的研究..... | [苏联] | K. A. Великанова | (47) |
| 9. 派姆萊声学實驗室和消声室的設計与建造..... | [美国] | P. J. Mills | (50) |
| 10. 派姆萊声学實驗室中消声室的性能..... | [美国] | H. C. Hardy 等 | (53) |
| 11. 用于声波和分米电磁波的消声室构造..... | [瑞士] | G. W. Epprecht 等... | (55) |
| 12. 消声室声学特性的测量..... | [土耳其] | Bedri Karafakioglu | (63) |
| 13. 宾夕法尼亞州消声室..... | [美国] | R. L. Berger 等 | (67) |
| 14. 消声室的声学性能..... | [加拿大] | N. Olson | (72) |
| 15. 消声室尖劈的設計..... | [美国] | B. C. Watters | (75) |
| 16. 关于多孔性声吸收材料的模拟..... | [日本] | 荒井 昌昭 | (79) |
| 17. 吸声尖劈的电模拟研究..... | [日本] | 荒井 昌昭 | (86) |
| 18. 消声室吸声結構特性的改进..... | [西德] | G. Kurtze | (92) |
| 19. 消声室声場研究的評述..... | [法国] | R. Lehmann 等 | (94) |
| 20. 論消声室中声波的傳播..... | [西德] | H. G. Diestel | (97) |
| 21. 消声室..... | [西德] | W. Bausch 等 | (101) |
| 22. 基于逐漸过渡原理的消声室吸声結構的理論..... | [西德] | A. Schoch | (108) |
| 23. 电磁波和声波的逐漸过渡式吸收体的反射系数..... | [美国] | K. Walther | (112) |
| 24. 逐漸过渡式吸声体的反射..... | [美国] | N. B. Miller | (124) |
| 25. 以切短玻璃纖維制成尖劈的消声室..... | [苏联] | P. B. Домбровский 等(130) | |
| 26. 泡沫聚氨基甲酸乙酯吸声尖劈..... | [苏联] | Б. М. Климов 等 | (132) |
| 27. 消声室的經濟的設計和結構..... | [美国] | J. Duda 等 | (133) |
| 28. 高效能吸声装置和消声室的結構..... | [美国] | R. W. Young 等 | (134) |
| 29. RCA 實驗室中的声学實驗室 | [美国] | H. F. Olson | (136) |
| 附表 六个大型消声室和五个小型消声室的簡要情況 | | | (138) |

原

书

缺

页

的甘蔗板遮住，以免裝在錐內的疏松羊毛散逸出來。錐高1米，方形底部的邊長是15厘米，三棱柱形的底腳高15厘米，相鄰的錐體彼此緊靠着排列。

1943年，當哈佛的消聲室建成後，奧爾遜^[4]提出了一個消聲室設計的詳細資料。在他的消聲室里，牆面上垂直地排列着用毛毡製成的結構。雖然這消聲室的造價比較便宜，但從發表的數據來看，它的性能並不比梅耶的消聲室差。

由於需要利用彼此相距一定距離的聲源和傳聲器進行測量，因此希望我們的消聲室要比以往的更好些。但是又希望室內吸聲體的製造和裝置的費用能控制在適當的範圍內，而且為了獲得較大的工作空間，牆上的吸聲體厚度又應該最小。為了達到這些目的並且能總結出一套能夠應用於任何大小的消聲室設計的圖紙，在設計過程中我們差不多對一千多種不同的結構進行了測試。

三、儀器裝置

為了測量不斷發展着的吸聲結構的吸收性能，我們採用了阻抗管法，其原理在文獻[5]中已有敘述。被測的結構置於長15呎、8吋見方的鐵管的一端，揚聲器裝在鐵管的另一端，它產生的聲波沿管子傳播，並且從被測結構反射回來。管中駐波的圖形可以通過移動傳聲器進行測量，這樣可定出聲壓的極大值和極小值，以便計算聲壓反射系數。在管中測量的頻率是從50赫到1500赫，在1500赫到4000赫的頻段內的数据是由混響室測得的，對高於4000赫的頻率，可以考慮材料表面的聲阻抗和假定材料為無限時的阻抗一樣而接近於 ρc ，這樣在高頻時所求得的吸收程度就可以通過材料的比流阻和材料密度的計算來決定。

在表示被測吸聲結構的性能時，決定不採用慣用的量——聲能吸收百分率 A ，而採用聲壓反射百分率 R 作為吸收效率的指標。 A 的定義是被測結構吸收的聲能與入射到結構上的聲能的百分比。這樣選擇縱坐標是令人滿意的。因為在99%到100%範圍內的能量的吸收系數是與10%到0%範圍內聲壓反射系數相對應的。因此選用了後一標度，使人們對高吸收結構吸聲性能的差異可以獲得比較明顯的指示。

材料的其它物理性能由空氣流阻、密度和結構的均一性來決定。為了測量吸聲材料的流阻 $R_f = p/v$ （ p 是壓強，單位是達因/厘米²； v 是速度，單位是厘米/秒），使用了精確設計的儀器。從吸聲材料上割

出的直徑為 $2\frac{1}{8}$ 吋的樣品被安裝在樣品架上，使穩定的空氣流通過樣品。通過樣品的空氣流的體積率和樣品兩面的壓強差可以用轉速計和斜管壓強計分別進行測量。從材料上割出的樣品應當比樣品架直徑稍微大一些，這樣，當置入樣品時在邊緣處就不會產生漏氣的現象。

四、不同結構的有關性能

在研究過程中得到了下面所表示的五種類型結構的數據：

1. 薄層結構；
2. 毛毡層結構；
3. 塞緊的錐形結構和半剛性錐形結構；
4. 尖劈結構；
5. 指數形錐形結構和指數形尖劈。

圖2和圖3表示了部分經常使用的吸聲結構聲壓反射系數和能量反射系數曲線，在這六種被研究的結構中，每一種都是各該結構中最好的設計形式。圖的右邊是結構的剖面草圖，圖中並列出了結構所用的材料以及它們的特性。

結構A

這種尖劈是近年來所採用的長尖劈中性能最好的一種，通常用在大型消聲室里。不計固定到硬牆上的一吋厚的隔震軟木，結構的總長度是 $56\frac{3}{4}$ 吋。尖劈的主體是飽和石炭酸甲醛玻璃絲製成的，它的密度通常是2.5磅/呎³，把這種材料先製成密度不同、寬2呎、長4呎和厚度在4吋以下的半剛性板，用鋸子從4吋厚的玻璃纖維板中割截出尖劈的構件，再把這些構件合併在一起，構成底部為8吋見方的尖劈單元，在8吋見方的尖劈底部中，有 6×6 吋的面積形成柱形截面，使與底部的木框相吻合。

在尖劈底部有兩層厚1吋、密度為3.25磅/呎³的PF玻璃纖維毡和一只 $7\frac{3}{4}$ 吋見方的木框（見圖4），根據我們對所建成的消聲室的多次測量證明：如果選用一定尺寸的尖劈，這兩層玻璃纖維毡是可以省去不用的。在整個尖劈外護以薄的棉紗套，套的四周張緊，並且固定在木質底架上，棉紗的規格是每吋 40×44 支。

結構B

根據對多種不同於圖2所示的薄層結構的測試，可以看出，對貝爾的原始設計是可以改進的。但在每種情況下，當頻率低於500赫時，聲壓反射系數都接近或者超過20%。並且可以確認這種結構的反射系數與聲波的入射角間存在着密切的關係，由

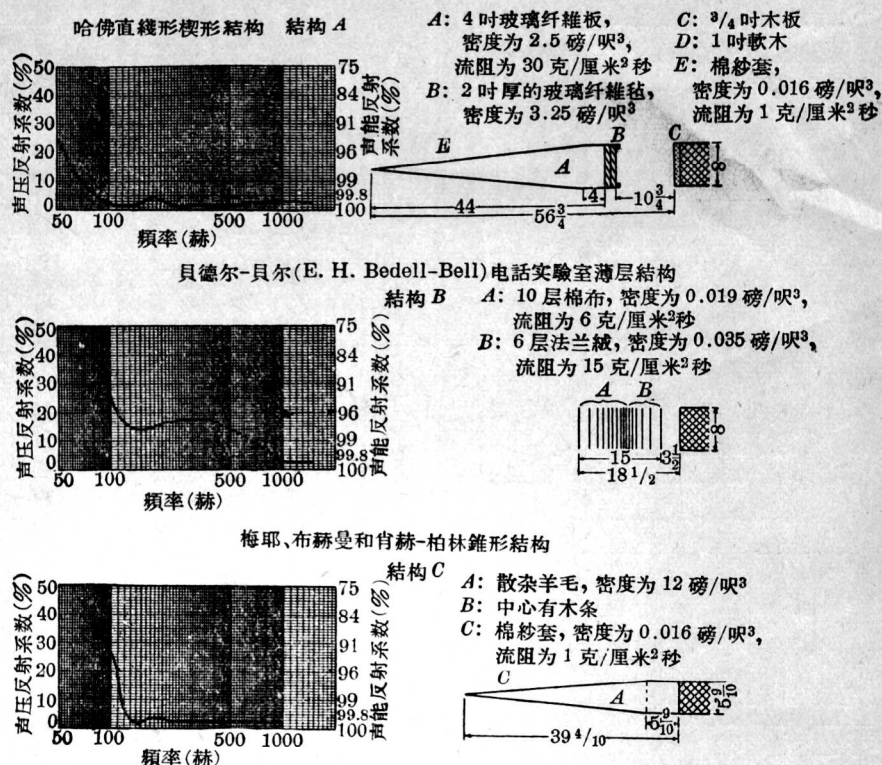


图 2① 哈佛以及更早期的二个消声室的声压反射系数曲线

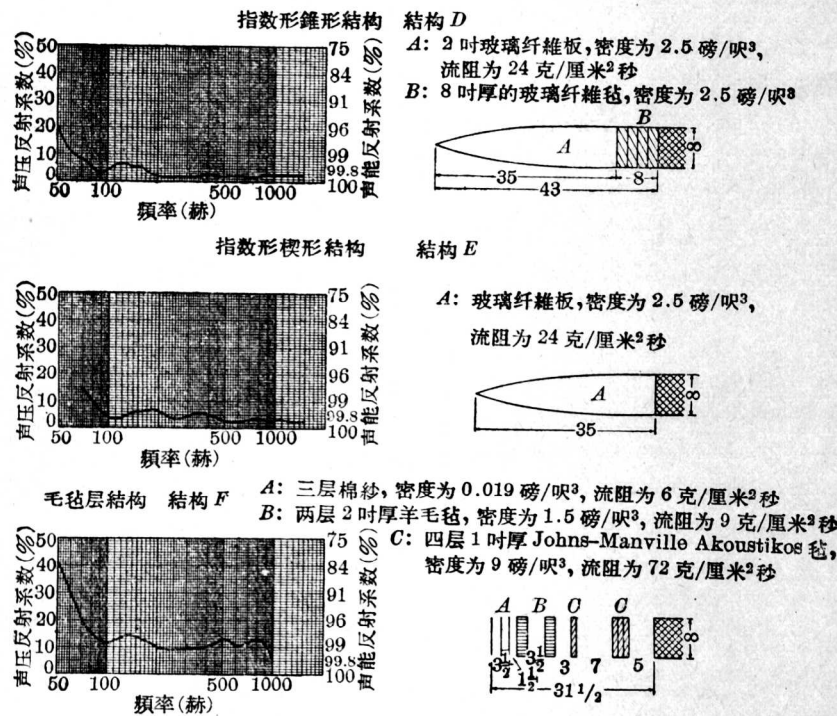


图 3① 三种结构的声压反射系数曲线

① 原图中符号与图注中不一致,已作了更改——译者注

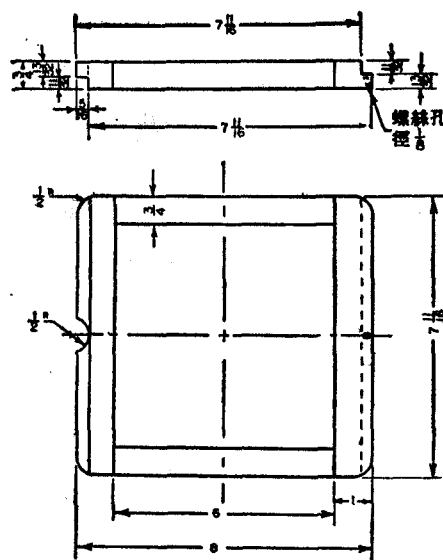


图 4 装置楔形用的木架

于平行于墙面的结构对于空气质点运动的阻力小，当声波接近于掠入射时，反射系数就趋向于较大的数值，由于这些原因以及装置上的复杂性，这种类型的结构已被淘汰。

结构 C

锥形结构在低频吸收方面不如尖劈有效，为了在整个频段内使声压反射系数保持均匀的低值，就需要增加锥长，这是很困难的。同时在锥形结构的制造上亦较困难，它所需的费用也较大。根据梅耶等人的情况，他们的锥形结构消声室面积只有哈佛消声室的 82%，但在锥形结构的制造和安装方面，他们用了 9500 工时，而哈佛只用了 8000 工时，二者直接相比，装置锥形结构要多化 45% 或更多一些的时间。

结构 D

对于指数形锥形结构，除了在 125 赫处反射系数增加到 7% 以外，它的性能和直线形尖劈是相近的。如果在采用适当流阻特性和适当指数率方面再作进一步的研究，则在给定的长度下，有可能得到比尖劈性能更佳的结构。不过，由于制造上费用过大以及生产时材料的耗费较多，使得这方面的进一步研究中断了。

结构 E

对指数形尖劈的测量结果表明，它比所采用的直线形尖劈要差一些。

结构 F

对毛毡层结构的研究证明，如果使用的结构足

够厚，并且使各吸声毡层的数目和彼此的间隔具有适当的数值，则在 80 赫以上的声压反射系数趋势很均匀，声压反射系数的平均绝对值是 11%。在大房间中装置这种结构是极其困难的。

五、通用的设计数据

对十多种不同材料制成的各种楔形结构进行研究后，下面再确定最合适吸声结构的类型，并且要确定能够根据所要求的任何频段或结构总深度提供吸声性能最佳的结构的制造途径。根据吸声结构的性能以及制造上的方便，对玻璃纤维板所制成的尖劈进行了详细的研究，而剩下的只是下列几个可变的参数：

1. 尖劈的底面面积；
2. 材料的流阻 R_f ；
3. 尖劈的劈长 L_1 ；
4. 尖劈的底部长 L_2 ；
5. 在底部的空气间隙深 L_3 。

对于第一个参数，我们只准备研究每边长 8 吋的方底尖劈，其所以采用这个特殊的尺寸，一方面是由于受到测量仪器大小的限制，另一方面也是由于两块 4 吋厚的玻璃棉板构成 8 吋尖劈时不致造成浪费。

因此，只剩下四个参数需要进行详细的研究，即流阻、尖劈的斜劈长度、底部长度以及空气间隙的深度。从生产单位可以获得各种密度的纤维板，因而也可以在较大范围内选择流阻。我们用玻璃纤维板做成约 500 个楔形体，并且每个楔形体都利用阻抗管进行了测量，得到在垂直入射情况下材料的反射系数 R 与频率的函数关系。

测量的一组典型数据如图 5 的几根曲线所示， R_1 是沿着穿过 PF 玻璃纤维板的纹理裁割成厚度为 1 吋的材料的流阻值。三条曲线中以曲线 B 最为理想。

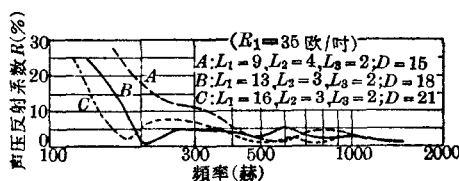


图 5 当 L_1 在 9~16 吋范围内变化时，尖劈的声压反射系数

图 6 表示结构的最佳尺寸和低限截止频率的函数关系，低限截止频率的定义是垂直入射声波的声

压反射系数上升到 10% 的频率，这也是和声能吸收系数下降到 99% 或者反射声压比入射声压减小 20 分贝时的那个频率相应的。将尖劈部长度、底部长度和空气间隙的深度作为独立的变量，则结构的尖劈的总长度和底部的深度就不再是一个独立的变量。詳細說明底部深度 d 的原因是：因为实验表明它具有最佳的数值。而底部长度和空气隙长度之比的变动倒是不十分重要的。在结构底部并未象结构 A 那样加玻璃毡层，事实上，后者也不是必需的。我們所研究的低限截止频率由 50 赫到 400 赫。

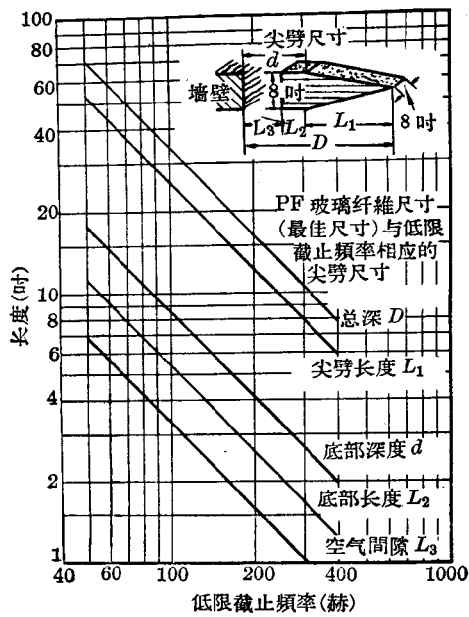


图 6 PF 玻璃纤维尖劈的详细尺寸与低限截止频率的关系曲线

必須強調指出，这些設計特性只适用于 2 吋到 4 吋厚的沿对角綫割出的玻璃纤维板組成的尖劈体。并且还要求这些尖劈对邻近尖劈的底部大約有 2% 的压缩，以防止相邻近尖劈分界面处的漏声。至于采用其他方法組成的尖劈，将会导致不同的結果。

尖劈的性能除了与上述尺寸有关外，还与流阻特性有关。图 7 表示流阻的最佳值与低限截止频率的关系，以及流阻的可能变化范围，在这范围内尖劈的性能不会发生显著的改变（即反射的声压仍低于 5%）。这个范围的大小相当于推荐的流阻值的 $\pm 20\%$ 左右。图 8 给出在不同密度的样品中所测得的流阻范围与密度的关系曲线。

六、消声室的构造

大型的消声室是用钢筋混凝土建造的，在未加

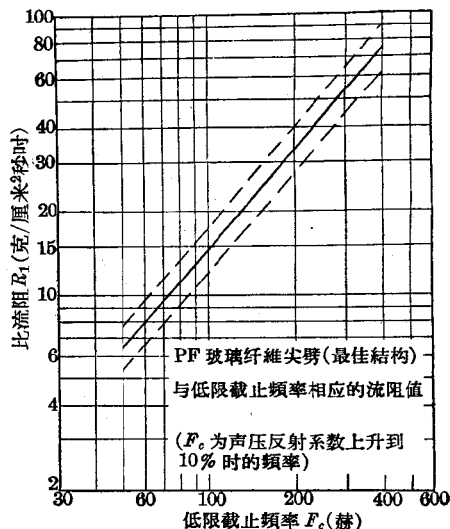


图 7 流阻值与尖劈(由 PF 玻璃纤维绝緣板制成)的低限截止频率的关系

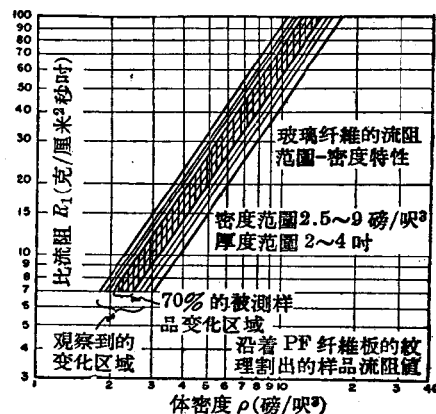


图 8 PF 玻璃纤维板的流阻测定值与体积密度的函数关系

尖劈体的内部尺寸是 $38 \times 50 \times 38$ 呎。地面上部的水泥墙厚 1 呎，在地下部分的墙厚 2 呎。在内表面铺上一吋厚的软木，以防止墙的潮气。消声室的入口有 4 呎宽的铁轨（见图 1 和 9），轨道离地面约 12 呎，利用绳索将它吊起。利用通过轨道上的小车将仪器运入室内，为了避免小车的反射，应在实验时将小车移出室外。在试验过程中可将仪器悬吊在天花板的单轨条上。

消声室的入口用两扇重门式的门和两扇内部装有尖劈的深箱式的门封闭，以便保证室内具有连续的吸收面（见图 10）。二扇箱式门的相邻表面是圆柱形的。设计适当的圆柱形半径，可以使这两扇门在开启时能迅速分开，而不发生滑动和摩擦。

尖劈的装置方法如图 11 所示，每个尖劈底部的

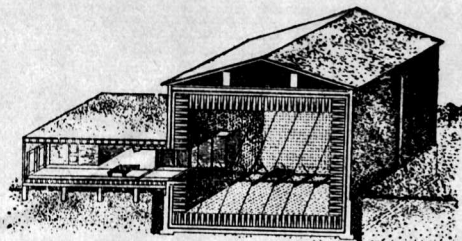


图9 大型消声室的截面图
在消声室地基四周填以4呎宽18呎深的煤渣

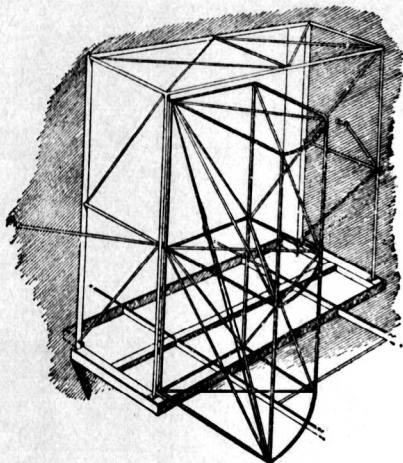


图10 装有尖劈的摇门的金属框架

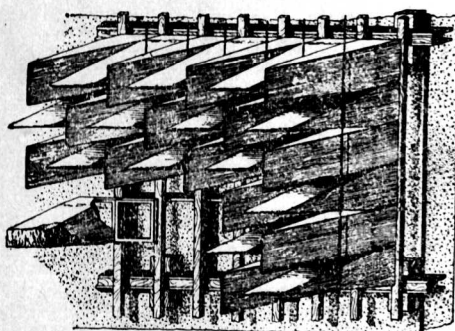


图11 装置尖劈的方法

木架压在相邻尖劈的木架上，并用螺栓固定好。为了防止在长时期后尖劈的沉塌，加用了第二个支撑点——用一种小链子和9号粗的短金属丝做成的链梯吊住尖劈。

尖劈背后的空气间隙钉满了1/2吋 Celotex①板制成的16吋见方的格子箱，其目的是为了防止在低频时声波沿着平行于尖劈后面的墙面进行传播，以保证吸收系数随入射角的变化为最小。尖劈的两端是连续交迭的②，以免产生衍射栅的效应。铺满整个内表面大约需要一万九千只尖劈，安装尖劈后

剩余的体积是 $29 \times 41 \times 29$ 呎³

二个较小的消声室，一个建造在 Craft 实验室内，另一个建在心理声学实验室内，它们的装置情况同较大的消声室是类似的，所不同的是后者所采用的尖劈较短，两个室内的尖劈的总长度分别为25吋和15吋。由于尖劈短，所以就没有必要采用第二个支撑点，同样，在尖劈端部正上方的地板上张拉了铁丝格子网。

七、消声室的校准

1. 方法与仪器

校准消声室的方法至少有三种，以便考察它同无限自由空间的接近程度。第一种方法是当接收器从小声源离向远处时，测量接收器上声压的衰减值。如果没有反射声，则在消声室限度允许的范围内，声强应反比于距离的平方而衰减，亦即声压反比于距离而衰减。第二种方法是应用强指向性传声器，测量从声源直接传来的声音和从其它方向传到传声器的声音的比值。因为如果墙面有任何反射，则传到传声器上的不仅是从声源方向传来的声音，而且也会有其它方向传来的声音，因此就可把它测量出来。第三种方法是先产生很短促的声脉冲，然后在延迟的时刻去测量由于墙的反射所引起的回声。通常传声器同声源间可以相隔一定的距离，但是必须保证直接到达的脉冲声与反射的脉冲声之间仍保持一段延迟时间。在这三种方法中，哈佛大学的消声室里采用了第一种最简单的方法。

校准时，在50赫到3000赫的频率范围内应用WE 630-A型电动传声器，测量高于3000赫的声压时，应用WE 640-4A型电容传声器。在整个频段内使用了四只扬声器，在很低的频率时，使用大型的曲折喇叭。当被辐射的声波波长接近喇叭的横向尺寸的数量级时，就要采用尺寸较小的喇叭。因为这样可避免使用具有方向性的扬声器，否则，除了正对喇叭的那面墙以外，在其它边墙上将不能获得反射声。实际上，使用的声源愈小，得到的数据也愈好，因为对于很小的声源，它本身很少有可能产生反射声和折射声。

在作校准实验时，声源被悬挂在顶部的一条单轨条上，传声器吊在架空的可动弯管上，在这弯管上标有记号，每两个记号之间的距离是1呎，当传声器位于各个不同位置时，在衰减器上可读出一组以频

① 一种吸声材料的商品名——译者注

② 指相邻的尖劈的刃面互相垂直——译者注

率为函数的读数，我们把这些读数画在以距离为横坐标、声级衰减的分贝数为纵坐标的单对数纸上。电子仪器的精密度可认为在 ± 0.1 分贝内。可以沿着房间的不同轴线测量反比定律，其中的一种情况是声源装在房间的角上，传声器沿着房间的斜向对角线移动，每隔一呎测量一个数据；另一种情况是传声器沿着房间的轴线而垂直于墙面移动。最后，将传声器沿着水平线与墙面间隔 $2\frac{1}{2}$ 呎平行地移动，也可得出一组数据。当然也可以利用在房间中运动的小车来测定数据。

消声室的温度是受控制的，并且湿度不允许超过 60%。在整个测量过程中记录温度，在高于 3000 赫的范围内，用干湿球湿度计控制湿度。频率较高时，由于空气的吸收，必须对数据进行校准。

2. 一个大型消声室的测量数据

图 12 表示在 70 赫到 10000 赫的频段内，当小车移出消声室，用可动传声器在高于轨道 10 尺的水平面上，沿着对角线移动的情况下所测得的数据。图 13 分别表示在声源与传声器距离在 0~10 尺、10~20 尺、20~30 尺、30~40 尺时所观察到的同平方反比定律的最大偏差值与频率的关系。

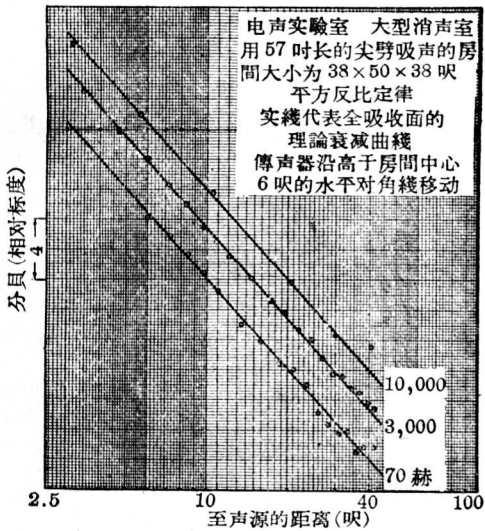


图 12 在大型消声室中，声级衰减分贝数与传声器同声源间距离的关系曲线

图 14 是在整个被研究的频段内，测定数据的分布曲线的形式，图中并注明数值点的标准偏差。画在每张图上的两条直线表示了与平方反比定律的最大预期误差。图上 371 个点中约有十九个点落在曲线外，但可以不去考虑这十九个点，因为测量设备的误差不小于 0.1 分贝，而准确地测量传声器与扬

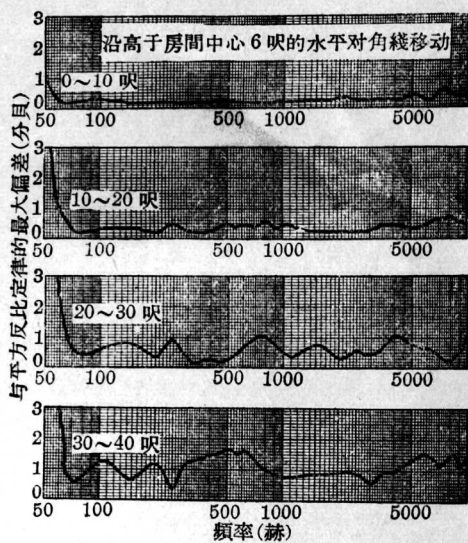


图 13 在采用 57 尺长的 PF 玻璃纤维尖劈吸声体的哈佛大学消声室中，测量值与理论的平方反比定律的偏差同频率的关系图。以声源与传声器之间的距离为参数

声器之间的距离是很困难的，这样又可能导入附加的 0.1 分贝左右的误差。总之，从这些数据可以看出，在 70 赫到 10000 赫的频率范围内，在 4 到 10 尺距离内与反比定律的偏差大约 ± 0.3 分贝；在 10 到 20 尺距离内的偏差为 ± 1.0 分贝；在 30 到 40 尺距离内的偏差为 ± 1.5 分贝。从测量数据中可以看出，在高于 5000 赫时，这些点子的降落显然比按平方反比定律的略为缓慢些。在 1000 赫时，与平方反比定律有规则地逐渐变大的偏差趋向于极大值 $= 0.3$ 分贝，然后随着频率的增加而变小，在 2000 赫时减低到零。当距离超过 20 尺后，这些点子的降落也比平方反比定律要缓慢（参看图 14）。

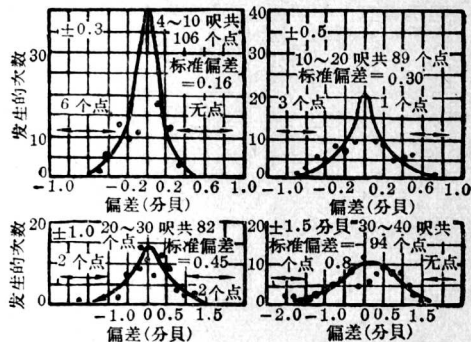


图 14 测量点与平方反比定律的偏差分布曲线。以声源与传声器间距离为参数，频率从 70 赫到 10000 赫

在高于轨道 4 尺的水平面上，沿着房间长轴在

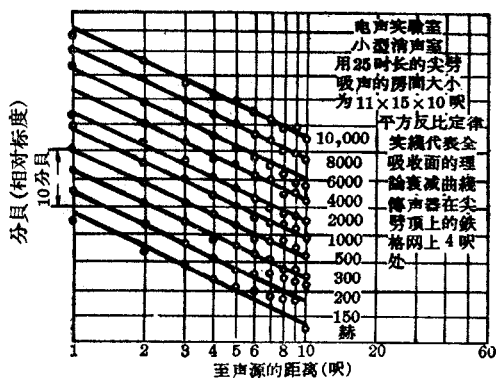


图 15 在較小的消声室中，声压衰减分贝数与声源和傳声器間距离的关系曲縷

有和沒有小車的两种情况下测得的数据表示在表 1 上。可以看到，即使小車不在房間里，当靠近軌道进行测量时，与平方反比定律的偏差就比在对角线上测量的偏差要大，当小車在室内时，与平方反比定律的偏差就更为显著。

可以看到，在低于 200 赫时，当傳声器离开墙面 $\frac{2}{3}$ 呎且平行于墙面离开声源时，测得的声压衰减不規則地增加。但这些数据比梅耶在柏林的消声室內整个頻段內所測得的数值要小。

3. 二号消声室的測量数据

这里发表了两个較小消声室之一的平方反比定律数据。这个消声室是矩形的，在未裝置 25 吋長的尖劈时，室內尺寸是 $11 \times 15 \times 10$ 呎，裝入吸声体后，剩下的工作空間約為 $7 \times 11 \times 6$ 呎。沿着房間長軸測得的数据示于图 15 上，概括說來，这些曲線說明在 300 赫到 5000 赫的頻段內，在 5 呎以外与平方反比定律的偏差是 ± 0.5 分貝，在 10 呎以外与平方反比定律的偏差是 ± 1.0 分貝，在 5000 赫到 10000 赫的頻段內，在上面两个距离时的偏差分别为 ± 1.0 分貝和 ± 2.0 分貝。在高頻时，較大的偏差是由鐵絲格子网和悬挂着的鋼結構所引起的，后者差不多占

了整个地板面积的一半。

表 1 沿着平行于軌道且高于軌道四呎的長軸移动傳声器时，测得的数据与平方反比定律的偏差分貝数

頻率	小車	小于 10 呎	10 ~ 20 呎	20~30 呎
1000	出入	± 0.5 ± 1.0	± 1.0 ± 1.0	± 1.5 ± 5.0
4000	出入	± 0.1 ± 0.2	± 0.3 ± 1.0	± 1.0 ± 1.3
5000	出入	± 0.2 ± 0.5	± 0.7 ± 1.5	± 1.5 ± 2.5
10000	出入	± 0.7 ± 1.0	± 0.8 ± 2.0	± 2.0 ± 1.5

把这数据同 1936 年貝德爾关于贝尔電話實驗室的報告作一比較是頗有意义的，他所發表的關於他們的較小消声室在 300 赫到 500 赫的頻段內与平方反比定律的偏差，在 5 呎以外是 ± 3 分貝，在 10 呎以外是 ± 5 分貝。

參 考 文 獻

- [1] H. F. Olson, Elements of Acoustical Engineering (D. Van Nostrand Company, New York, 1940), p. 305. (見“声学工程”1957 年版中譯本 458~459 頁，科学出版社 1964 年出版。)
 - [2] E. H. Bedell, J. Acoust. Soc. Am., 8 (1936), 118.
 - [3] Meyer, Buchmann and Schoch, Akustische Zeits., 5 (1940), 352. (本輯第 28 篇作了摘譯。)
 - [4] H. F. Olson, J. Acoust. Soc. Am., 15 (1943), 96. (本輯第 29 篇作了摘譯。)
 - [5] H. J. Sabine, J. Acoust. Soc. Am., 14 (1942), 143.
- (胡春年 譯自 «J. Acoust. Soc. Am.», 1946 年第 18 卷第 1 期第 140~150 頁，沙蒙正校)

消 声 室

[日本] 三宅 千葉 衡益

一、消 声 室

在設計制造声学器件时，首要的前提就在于精确的声学测量，为了实现这一点，必须有一个“无反射声的房间”。这个特殊的声学测量室通常被称为消声室。

那么，为什么说声学测量需要有这样的一个房间？对此，下面拟从声学测量技术中关于精度要求比较高的电话机来加以说明。为了研究并改进声学工程上的各种器件、电话机、无线电、录音机等等，首先需要精确地测定声音的强弱，这样就促使建立消声室。所谓电话机的品质，就是要在不破坏室内清晰度的情况下，把说话的声音通过电话线一直传输到很远的地方，亦即由可能传递的距离来表征电话机的品质。众所周知，相应于声音所产生的电流在每一公里上约衰减掉十分之一；但是，如果在从受话器上测定声音强弱的时候搞错了十分之一，这就无异在电话线的长度上要修正1公里的估算错误。对于这个问题，电话技术工作者通常把电学测定的1~2%的精度作为测定声音的精度所允许的最大限度。

按照上述的这种测定声音的精确程度，在目前的电话线路长度上仍然存在着100~200米左右的不精确程度。然而，即使如此也还得归功于最近以所谓“互易校准法”原理为基础的测定技术的发展。

在测定传声器和扬声器等元件的性能时，周围环境的情况是不能忽视的。我们在听闻从普通扬声器所发生的声音时，除了来自扬声器的直达声以外，同时也可测得在墙面上经过某种程度反射而进入人耳的所谓反射声。为此，在讨论单独一个扬声器的性能时，如果不消除掉这些反射声并依赖仅有的稳定直达声，那是没有什么实际意义的。在消声室里，除了声学器件外，一般不存在任何反射物体。在利用这种上下四方无限地扩展的空间时，可以把标准扬声器假想为具有理想的特性，以便进行设计制造，尤其是可以方便地利用这种房间调整扬声器的性能。对于传声器的测定情况也是一样的。借助于这

种无反射声的空间，是使得声学器件进入实际应用的一个原因。在这些声学器件的研究中，消声室起了近似地重现一个无限扩展空间的研究室的重要作用。

类似这样的例子，不仅仅有上述单纯的扬声器和传声器，凡是涉及到一切声的测量方面，这种特殊的测量室无疑是必要的。但是，它的使用方法也有好几种，并且应该根据它们的各种测定要求而分别考虑它们的精度。

不过，这种消声室的基本条件却都是一样的，它们应分别满足下述两个条件：第一，没有反射声，亦即入射于墙面上的声波应该尽可能地完全被吸收掉；第二，应该同时尽可能减小来自外界的干扰。

根据不同的研究对象和所要求的程度，实现上述这些条件将有某些差别。为了实现第一个吸声条件，根据下述声学原理的方法，可以在墙面铺以吸声材料。在硬度不同的两种媒质的界面上必然出现声波的反射现象，如果硬度的差值越大，则反射声波也越显著。按照这个原理，在能够完全反射的混凝土那样材料上铺覆玻璃纤维吸声材料，在其密度接近于空气的表面上，反射是非常少的，随着接近混凝土的墙面，反射自然增大。

对于第二个条件，亦即来自外界的干扰，估计有机械振动、声振动和电感应三个因素。这就必须建造内室，并将内室做成悬室。为了减弱它的振动，使用了弹簧和防震材料，并利用混凝土等重厚墙壁以隔绝外界噪声。门窗缝隙的漏声，可以分别通过门的精密加工和加大重量的办法来解决。至于电感应则可对房间采取屏蔽的措施。由于主要是进行电的研究，所以特别需要采取完全的接地和防止电感应的措施。

二、消声室的实例

迄今为止，在世界各国已建成了许多消声室，但是，不论是在哪一个消声室，虽然它们的规模大小和精度的差别视用途等而有某些程度不同，但它们的基本条件如上节所述则大体上都是相同的。

目前所使用的多是尖劈等形状的吸声层。在此以前，也有使用垂挂帘幕等的方法，即使在目前也还有采用吸声毡绒等方法的。E. Meyer (梅耶) 和 G. Buchmann (布赫曼) 等首先提出了它们所研究的四棱锥体的锥形吸声层 (图 1)，而现在所使用的劈形吸声层则大约是由哈佛大学所发明的 (图 2)。在伊利诺伊工科大学的消声室里有一个双重套室的结构 (图 3)。近年来，在一些大型消声室中的吸声锥体也有使用压制的固态玻璃纤维的趋势。

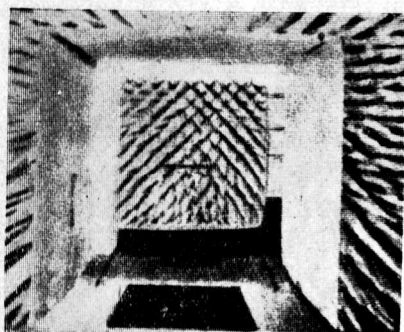


图 1 柏林工科大学，1940 年建成 (E. Meyer, G. Buchmann, A. Schöch)。外室的内部尺寸为 $16 \times 11 \times 9$ 米，内室有效尺寸为 $14 \times 9 \times 7$ 米，棱锥形吸声层长 1 米， 15×15 厘米，外覆铁纱，填充岩石棉，总数约 32000 个

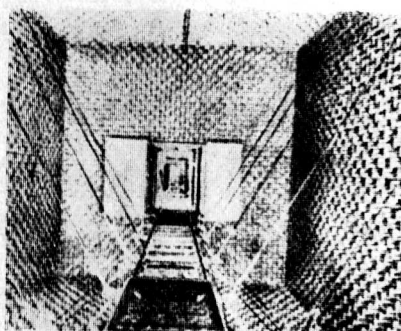


图 2 哈佛大学(美国) 1946 年建成的 (L. L. Beranek)。外室内部尺寸为 $38 \times 50 \times 38$ 呎，内室有效尺寸为 $29 \times 41 \times 29$ 呎，劈状吸声层长 44 尺， 8×8 厘米，外覆薄毛毡，填充 PF 玻璃纤维，总数为 19000 个

我們介紹其中如下的几个消声室：在大学的研究室中，有东京大学的理学院和早稻田大学工学院等；在应用研究方面，有在邮电部时期的通訊研究所（五反田）消声室，而在这以后，运输技术研究所（三鹰）、日本广播协会技术研究所、电气試驗所等

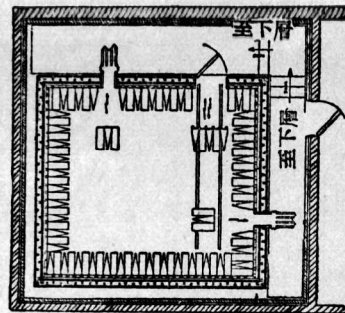


图 3 伊利诺伊工科大学派姆莱听觉研究基金会委员会的消声室

都建成了消声室。作为工业上使用而相继进行建造的有日立、松下等电机制造厂。

随着这种声学测量方法水平的提高，預料今后将会兴建更多的消声室。

三、电气通訊研究所的消声室①

第一节所述的基本条件中，第一条就是“无反射声的墙面”，为了建造这样的墙面，我們也利用了玻璃纤维的吸声层。

但是，为了使从空气表面开始的玻璃纤维具有理想地緩慢变化的密度分布，则一直到混凝土表面为止，它的厚度就必须非常大，因此，在設計时，我們把这个厚度限定为 1~2 米左右。由于經濟因素对吸声层的厚度也有很大的影响，所以在长的声管内进行了模型分布試驗后，采取了如图 4 所示的那样一种方案。在 100 赫以下时，它存在着一些不够理想的地方，而在 200 赫以上时，则大体上能够有获得完全无反射面的希望。这正是在实用上重要的声频范围。

图 6 是消声室完成后进行实測的結果。

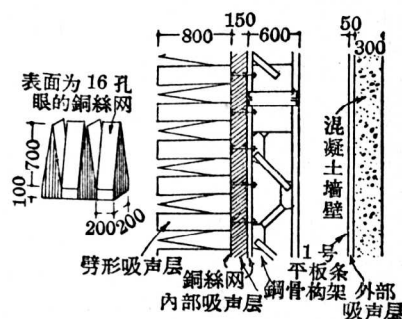


图 4 消声室的墙壁断面結構

① 这个消声室于 1959 年 2 月建成——譯者注

所謂消声室的完善程度，就在于它的反射現象能够被忽略的程度。当在这个无限扩展的无反射物体的空间中放入一个扬声器时，如果运用所謂声压随距离成反比地衰减的原理，则通过对这些实测值来检验它們和距离成反比的关系，就可以确定消声室的完善程度。测定的結果是实測点差不多都落在图示的直线上，亦即它們确实是遵循着上述这个关系的。如图所示，在这次試驗中，当频率低于 100 赫时，点子的一些离散程度是明显的，在实用上重要的频帶內，发现的誤差在 1 分貝以下。

第二个条件是“防止来自外界的干扰”。为此，用 30 厘米厚的混凝土圍筑成外墙，在墙的内部用鋼骨构架把内室分成两层（图 5）。为了防止振动，利用彈簧将这个内室悬空地鉤住，彈簧的固有频率在 5 赫附近，这被认为是符合要求的。不过，要把总重量达 80 吨的建筑物用彈簧来悬挂起来，这簡直是少

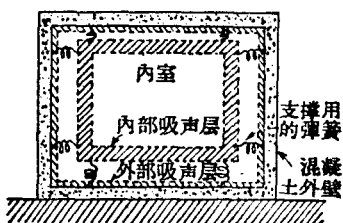


图 5 用彈簧鉤住的内室

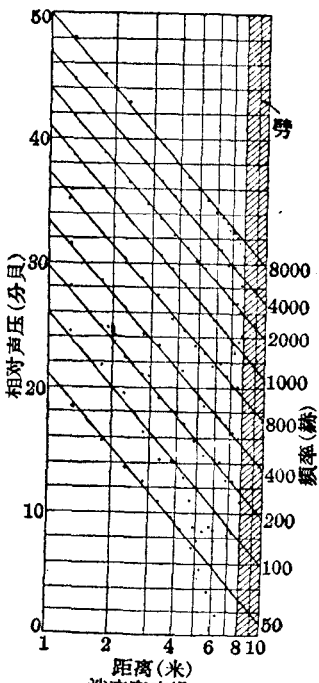


图 6 消声室建成时的测定結果

有的情况，所以要求在設計和施工时非常謹慎，但是出乎意外的是它竟被容易地实现了。更难以处理的是关于門戶縫隙的漏声問題，我們用和 30 厘米厚的混凝土相同的隔声效果作为要求，通过精密的机械加工，使門的边缘能够严密閉合。

此外，如果在前室再利用双层吸声門（約 1.5 吨）作为輔助，而不考虑主鐵門的加工达到怎样的密閉程度，我们认为这也是一种减小声漏的办法。

曾經对这个隔声特性进行了实測，正如下文所述的那样，我們測得了在实用上相当良好的隔声效果。

除此以外，空气調节管道往往会将外界的噪声从管道周围傳入室内。由于存在着不少这种情况，所以选用了厚度为 1.9 厘米的鑄鐵管，并且还使用了吸声盒，这样，房間的隔声衰减值超出可以測定范围的程度。

关于电感应，由于过去方形吸声层的表面覆盖物采用的是毛織物（如五反田通訊研究所的消声室），因此要保持消声室的特性就显得非常困难。为了这个緣故，考虑了进一步改善的方法，并采用了銅絲网，然后把它完全接地；同时还考虑到将电源線的套管做成二层屏蔽，并使它們之間实际上沒有相互的干扰。

綜合这些資料并加以檢驗后，正如研究者在使用后所报告的那样，它的性能是比较好的。

在声学上的结构建筑方面，經常发生各种不容易想到的阻碍，因此，在规划上或是在施工时，就必须要有细心的工作人員，特别是和消声室使用者联系，以便彻底地掌握他們所要求的实用程度，这是极端重要的。

現在把一些具有代表性的問題，并参照在修建过程中所发现的事例，叙述如下：

(1) 由于人們的进出走动，使消声室入口門框四周的吸声层中材料会发生沉陷，因此，需要装上具有保护作用的护板。为了使内室的吸声性能均匀，上述問題必須予以解决。

(2) 与此相反，为了保护内壁而在地板网的外圍設置了栏杆，并将它用吸声带包扎起来。这个問題在实用上并沒有什么妨碍，但是对使用者來說，必須特别注意。

(3) 再有，关于混凝土外墙的内表面上露出的梁、柱等，如果可能的話，則通过布置吸声材料，使它具有平整的内表面，但这是否合适，值得考慮。

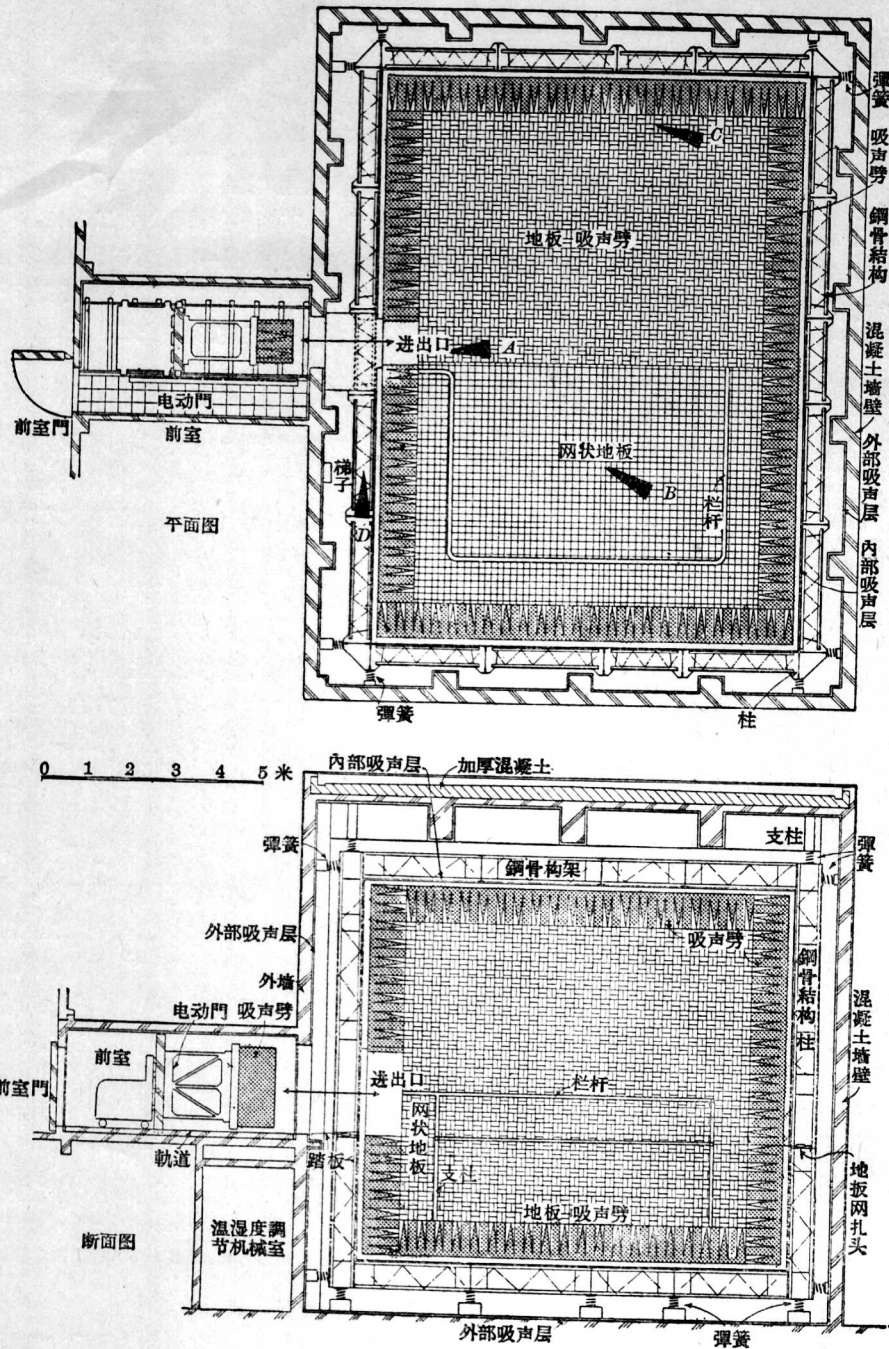


图 7 消声室平面图和断面图

- (1) 外室尺寸 15 (东西) × 12 (南北) × 10.6 米 (高度), 混凝土墙厚 30 厘米
- 内室有效尺寸 11 (东西) × 7.8 (南北) × 6.6 米 (高度), 地板面积为 86 米² ($\frac{26}{30}$ 亩), 体积为 566 米³
- 内室总重量 82 吨
- (2) 鋼骨构架 总重量 42 吨
- (3) 外部吸声层 9 微米的玻璃纤维, 密度为 90 公斤/米³, 厚度为 5 厘米, 玻璃纤维总重量约 5.17 吨
- (4) 内部吸声层 9 微米的玻璃纤维, 密度为 60 公斤/米³, 厚度为 15 厘米, 外覆 34 号 16 孔眼的铜丝网, 玻璃纤维总重量为 5.42 吨

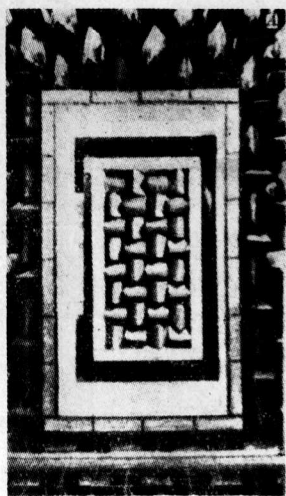


图8 内部进出口的正面图



图11 走廊

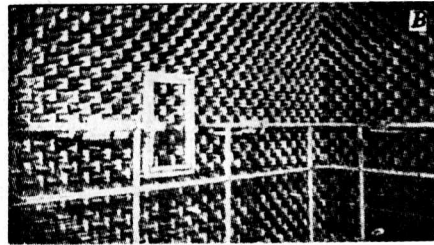


图9 同一个进出口的透视

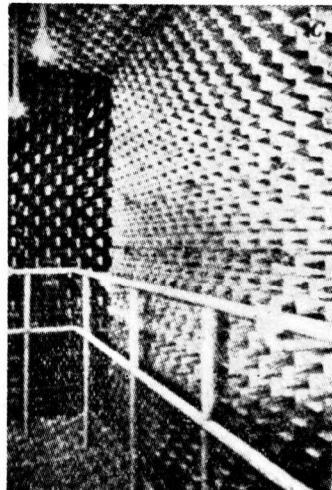


图10 内部詳图

四、消声室各部分的詳細情况

1. 外墙

为了防止来自消声室外部的噪声影响，首先要最外面建造能够有效地隔声的墙壁，亦即，在30厘米厚的钢筋混凝土墙壁的外表面上涂以水泥浆；在12厘米厚的钢筋混凝土屋顶上，从最低处开始浇上18厘米厚的无钢筋的混凝土，在里、外表面上均涂以水泥浆。除进出口的一间房子外，消声室全部用两面涂水泥浆的、厚度为30厘米以上的混凝土围护起来。尤其要避免做成两层薄的墙壁，这是因为在混凝土上可能会产生内部的裂縫。

其次，在刚建成混凝土的外墙时曾经测定过混响时间，这时的混响时间如图15所示，由图可见它是非常长的。可以说，最初造成的消声室变成了全然相反的混响室，这是一件颇饶趣味的事情。

2. 外部吸声层

在与外墙相邻接的内侧铺上了密度最高的玻璃纤维层。玻璃纤维衬垫的密度为90公斤/米³，厚度为5厘米，两面用板条夹住，这种材料的阻抗如图16所示。

其次，除了地板以外，在外部吸声层全部安装

- (5) 剥形吸声层 长度为80厘米（倾斜部分长度为70厘米），基部为20×20厘米，框架支撑为4毫米铜丝，总数为12546个，9微米玻璃纤维，密度为30公斤/米³，外覆34号16孔眼的铜丝网，玻璃纤维总重量为7.18吨
- (6) 地板网 网丝为不锈钢硬钢丝，2.9毫米，网孔为15厘米，拉力为200公斤
- (7) 前室(门厅室) 地板 灰泥墙 天花板 玻璃纤维衬垫(外部吸声层)以及穿孔柔韧板
- (8) 门 吸声门 1(宽)×1.80米(高)，装置剥形吸声层固定于主门上
主 门 1.46米(宽)×2.26米(高)，行车间距中心间距为1.56米，行车间距为3.5米，启闭门厅时间约90秒，电动及手动，重量约2.5吨
补助防声门 1.2(宽)×2米(高)，使用橡胶填料，重量约1.4吨